

I. В. Луцюк, І. О. Ілючок

Національний університет “Львівська політехніка”,
кафедра хімічної технології силікатів,
Iryna.V.Lutsiuk@lpnu.ua

СПОСОБИ ОТРИМАННЯ ПОРОШКІВ АЛЮМОМАГНЕЗІАЛЬНОЇ ШПІНЕЛІ. ОГЛЯД

<https://doi.org/10.23939/ctas2020.01.050>

Проаналізовано основні методи синтезу порошків алюомагнезіальної шпінелі, їхні особливості та переваги. Розглянуто характер фізико-хімічної взаємодії компонентів у системі MgO–Al₂O₃, фізичні, кристалографічні характеристики та структурні параметри кристалічної гратки алюомагнезіальної шпінелі. Наведено умови синтезу та здійснено якісне порівняння можливостей методів синтезу з погляду на властивості порошків шпінелі. Показано вплив різних чинників на повноту шпінелеутворення за різних методів синтезу шпінелі.

Ключові слова: алюомагнезіальна шпінель, синтез шпінелі, твердофазовий синтез, золь-гель процес, метод Печіні, цитратний золь-гель синтез.

Вступ

Одним із найважливіших завдань сучасного матеріалознавства є отримання якісних керамічних матеріалів певного складу, структури та з високими фізико-механічними й експлуатаційними властивостями. Серед таких матеріалів особливе місце займає шпінельна кераміка на основі оксидів системи MgO–Al₂O₃. Таку кераміку широко застосовують у різних галузях промисловості: для виробництва високоякісних вогнетривких виробів для футерування печей чорної і кольорової металургії [1–5], у хімічному виробництві для отримання стійких керамічних фарб та пігментів широкої кольорової гами [6, 7], радіотехніці, ядерній енергетиці як інертну матрицю в ядерному паливі [6, 8, 9] тощо. Кераміка з алюомагнезіальної шпінелі затребувана у таких високотехнологічних галузях, як оптичне приладобудування, нанофotonіка, аерокосмічна і військова техніка, системи безпеки, і є лідером на ринку нових і перспективних бронематеріалів (деталі засобів індивідуального бронезахисту, вікна банків, офісів тощо) [10–16]. Таке широке застосування алюомагнезіальної кераміки пов’язано із низкою виняткових властивостей, а саме ізотропністю структури, оптичною прозорістю в широкому спектральному діапазоні від ультрафіолетової до інфрачервоної області

спектру, високими міцністю, твердістю, термостійкістю, вогнетривкістю, стійкістю до впливу агресивних середовищ, низькою ударною в’язкістю.

Кераміку на основі алюомагнезіальної шпінелі отримують переважно у три стадії: синтез порошку шпінелі, формування напівфабрикату і спікання у відновленому середовищі або вакуумі. Завдяки цьому найважливішим етапом є отримання нанодисперсних порошків MgAl₂O₄, від складу, структури і дисперсності якого значною мірою залежать властивості кінцевого продукту. Незважаючи на значні успіхи щодо способів синтезу якісного порошку алюомагнезіальної шпінелі, пошук найоптимальнішого методу його отримання за результатами порівняння морфологічних і структурних властивостей є актуальним завданням, що дасть змогу розв’язати проблему отримання високоякісних монодисперсних нанопорошків.

Аналіз літературних даних

До групи шпінелей належать сполуки кубічної системи із загальною формулою AB₂O₄ або A(AB)O₄, де A – Mg²⁺, Fe²⁺, іноді Mn²⁺, Be²⁺, Ni²⁺, Co²⁺, Zn²⁺, а B – Al³⁺, Fe³⁺, Cr³⁺, V³⁺, Mn³⁺, Ti⁴⁺. Матеріали зі структурою шпінелей володіють об’ємною елементарною коміркою, що

містить 8 атомів типу А, 16 атомів типу В і 32 ато-ми Оксигену. Позиції атомів Оксигену переважно є стабільними, а позиції катіонів А і В зале-жать від багатьох чинників, що призводить до істотних відмінностей у властивостях сполук із таким структурним типом. Цим і пояснюється здатність сполук цієї групи утворювати тверді розчини заміщення, в яких незначна кількість одного або обидвох катіонів заміщається іншими у вузлах кристалічної гратки без істотних змін її параметрів. Серед великої групи штучних шпінелей найпоширенішою є благородна або алюро-магнезіальна шпінель $MgAl_2O_4$ ($MgO \cdot Al_2O_3$), яка теоретично містить Al_2O_3 – 71,67 % (мас.) і MgO – 28,33 % (мас.).

Відомості про характер фізико-хімічної взаємодії компонентів у складних системах має важливе значення для отримання матеріалів і виробів із заданими властивостями. Фазова діаграма стану системи $MgO-Al_2O_3$ (рис. 1) слугує теоретичною основою для шпінельвмісних матеріалів [17]. У системі утворюється єдина хімічна сполука – алюромагнезіальна шпінель $MgAl_2O_4$, що плавиться конгруентно за температури 2135 °C. У системі існують дві евтектики: за температурі 1925 °C (98 % (мас.) Al_2O_3 – 2 % (мас.) MgO) і за 2030 °C (55 % (мас.) Al_2O_3 – 45 % (мас.) MgO). Всі інші матеріали, які отримують на основі магнію оксиду і глинозему, є твердими розчинами і відрізняються один від одного за своїми фізичними властивостями, однак їх називають шпінельними матеріалами [2, 18].

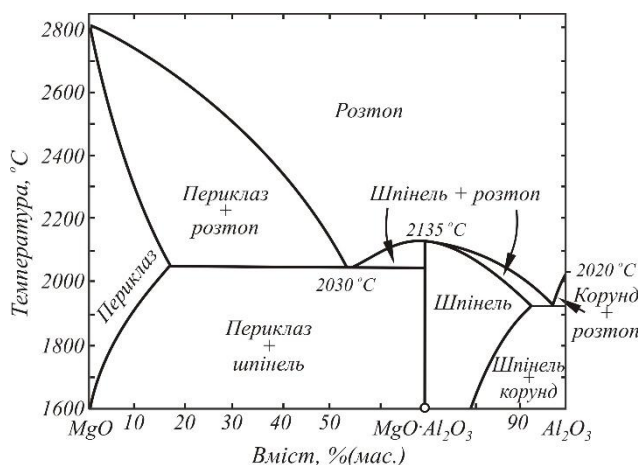


Рис. 1. Фазова діаграма системи $MgO-Al_2O_3$ [17]

Для алюромагнезіальної шпінелі характерна виражена кристалічна індивідуальність із утворенням кристалів октаедричної форми і двійників по {111} і {211}. За своюю структурою мінерал є прикладом нормальної (або прямої) шпінелі. Її елементарна комірка складається з 8 формульніх одиниць AB_2O_4 ($MgAl_2O_4$) і містить 32 іони Оксигену (рис. 2). Структура формульніх одиниць є гранецентрований куб. Іони Оксигену утворюють 64 тетраедричні й 32 октаедричні пустоти. У цьому разі у структурі шпінелі заповненими є тільки 8 тетраедричних та 16 октаедричних позицій. Вільні не зайняті позиції можуть бути заповнені у межах стабільності структури за високих температур і тисків [19, 20].

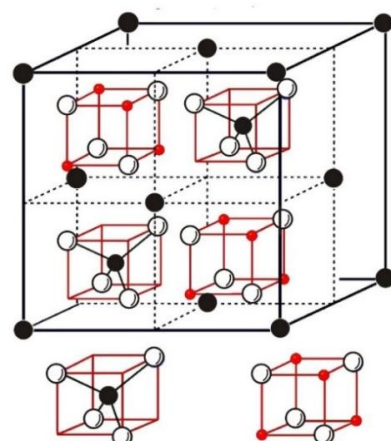


Рис. 2. Кристалічна структура шпінелі AB_2O_4 [21]

- – Оксиген
- – В-атоми в октаедрических позициях
- – А-атоми в тетраедрических позициях

Таблиця 1

Фізичні та кристалографічні характеристики шпінелі

	Показник
Сполука	$MgAl_2O_4$
Структурна комірка	$Mg_8Al_{16}O_{32}$
Структура	нормальна
Сингонія	кубічна
Просторова група	Fd3m
Параметри комірки, a , нм [22]	0,86
Температура плавлення, °C	2135
Густина, kg/m^3	3500–3700
Твердість за шкалою Мооса	8
Мікротвердість, МПа	14000–15000
Показник заломлення, N_g	1,718–1,750

Фізичні та кристалографічні характеристики шпінелі наведено у табл. 1, а структурні параметри кристалічної гратки шпінелі [ICDD] у табл. 2.

Таблиця 2

Структурні параметри кристалічної гратки шпінелі [ICDD]

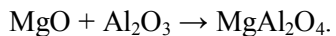
PDF	Параметри елементарної комірки, a , Å	Об'єм елементарної комірки V , Å ³
21–1152	8,0831	528,1
73–1959	8,0500	521,7
74–1133	8,0850	528,5
75–711	8,1740	546,1
75–1797	8,0948	530,4
75–1798	8,1336	538,1
75–1799	8,1251	536,4
75–1800	8,1311	537,6
75–1802	8,1860	548,5
75–1803	8,2065	552,7
84–377	8,0806	527,6

Способи отримання порошку $MgAl_2O_4$. Природних родовищ шпінелі, придатних для виробництва керамічних матеріалів, зокрема вогнетривких, абразивних тощо, не існує. У незначних кількостях шпінель може траплятися у місцях взаємодії магматичних і осадових порід у вигляді окремих кристалів [22]. У зв'язку з цим, протягом останніх десятиліть розвивалися різні технології отримання порошків алюромагнезіальної шпінелі. У літературі описано різні методи, кожен з яких має низку своїх переваг і недоліків, обмеження і можливості удосконалення залежно від мети роботи і задач формування того чи іншого матеріалу. Їх можна поділити за принципом реакцій між компонентами, що відбуваються: у твердій, рідкій і газовій фазі [23, 24].

У промисловості шпінель отримують за загальноприйнятою методикою, а саме синтезом із технічних матеріалів: глинозему і кальцинованого MgO . Завдяки цьому використовують два способи: спікання і плавлення суміші MgO і Al_2O_3 . Склади і вміст основних компонентів сировинних матеріалів наведено у табл. 3 [2, 17].

Спікання. В основу цього методу покладено взаємну дифузію іонів Mg^{2+} і Al^{3+} за

схемою, запропонованою Вагнером [2, 25], за реакцією



Твердофазовий процес шпінелеутворення за цією схемою є гетерогенною реакцією, яка відбувається і на поверхні розділу фаз $MgO - MgAl_2O_4$, і на поверхні розділу фаз $Al_2O_3 - MgAl_2O_4$, тобто включає міграцію катіонів Al^{3+} і Mg^{2+} по границях фаз. Внаслідок перенесення катіонів у взаємно-протилежних напрямках і обміну місцями у тетраедрах гратки утворюється шпінель. Подальший процес лімітується дифузією вихідних компонентів. При цьому кількісне співвідношення продуктів реакції по обидві сторони розділу фаз становить 1 : 3 і відповідає стану електронейтральності кристалічної гратки. Велика рухливість катіонів Mg^{2+} сприяє інтенсивнішому впровадженню у гратку Al_2O_3 із заміщенням катіонів Al^{3+} і з відповідним утворенням шпінелевої структури.

Твердофазовий синтез шпінелі супроводжується двома протилежними процесами: процесом спікання, переважно Al_2O_3 , під час якого відбувається ущільнення із зсіданням, і процесом шпінелеутворення, що супроводжується розширенням із розрихленням. На формування кінцевої структури суміші впливає порівняно низька розчинність на границі розділу $MgO - MgAl_2O_4$ порівняно з розчинністю на границі розділу $Al_2O_3 - MgAl_2O_4$, і різниця ТКЛР $MgO - MgAl_2O_4$ і $Al_2O_3 - MgAl_2O_4$ [2].

Повнота шпінелеутворення при твердофазовому синтезі залежить від низки чинників:

- активності компонентів, що реагують між собою. За даними [2, 26] MgO до складу мас доцільно вводити в активному стані, наприклад через каустичний магнезит, а Al_2O_3 – γ -формі. Тоді синтез шпінелі в суміші MgO і $\gamma-Al_2O_3$ починається за 700 °C, а в суміші MgO і $\alpha-Al_2O_3$ за 920 °C. Для підвищення активності вихідних компонентів автори [18, 27] пропонують оксиди перевести в гідрати, що під час випалювання розкладаються з виділенням оксидів, які, своєю чергою, зумовлюють високу активність, а, відповідно, і утворення шпінелі за нижчих температур;

- дисперсності вихідних компонентів. Відомо, що збільшення дисперсності твердої фази пришвидшує швидкість твердофазового синтезу. В зв'язку з цим, рекомендується молоти технічний глинозем і периклаз у трубних або вібраційних

Способи отримання порошків алюмомагнезіальної шпінелі. Огляд

млинах до залишку на ситі № 006 не більше ніж 0,5 % (мас.). Такий помел забезпечує отримання продукту з розміром зерен менше ніж 10 мкм у кількості 85–95 %. При цьому температура синтезу шпінелі становить 1300–1500 °C, а сам процес шпінелеутворення відбувається на поверхні зерен корунду з утворенням реакційних оболонок, які згодом ущільнюються аж до повного перетворення зерен глинозему в шпінель зі збільшенням їх вихідного об'єму [2, 3];

– наявності добавок-мінералізаторів, які пришвидшують і процес шпінеутворення, і процес її спікання. Ефективними добавками є B_2O_3 (до 2 % (мас.)), B_4C (до 3 % (мас.)), BeO (до 1,3 % (мас.)), TiO_2 (до 0,5 % (мас.)). Так, введення борного ангідриту сприяє утворенню шпінелі вже за 1300 °C на 90 %.

На підставі вищепередованого принципова схема отримання шпінелі твердофазовим синтезом охоплює такі основні технологічні операції [2, 3]:

– тонке подрібнення вихідних компонентів. При цьому отримана суміш повинна містити не більше ніж 20 % фракції з розміром частинок більше ніж 0,063 мм;

– змішування подрібнених компонентів з одночасним введенням тимчасової технологічної з'язки, наприклад ЛСТ (вологість шихти 5–6 %);

– пресування брикету з готової шихти за питомого тиску пресування 60–70 МПа;

– випал брикету за температури 1650 °C з витримкою за кінцевої температури приблизно 8 год.

За даними [2, 28] за твердофазового синтезу алюмомагнезіальної шпінелі з техніко-економічних міркувань доцільно технічний глинозем у шихті замінити на високодисперсні продукти кальцинації глинозему, що утворюються в системі аспірації обертових печей глиноземного виробництва. Вказані продукти з розміром частинок Al_2O_3 менше ніж 10 мкм не потребують додаткового подрібнення. У цьому разі температура синтезу шпінелі знижується з одночасним зростанням повноти синтезу матеріалу.

Таблиця 3

Характеристика типових шпінельних матеріалів [2]

Показник	Спечена шпінель			Плавлена шпінель
Вміст оксидів, %(мас.):				
Al_2O_3	64–70	75–77	89–90	68–70
MgO	29–35	22–24	9–10	21–29
CaO	< 0,40	0,20–0,50	< 0,25	0,20–1,00
Fe_2O_3	0,10–1,00	0,15	< 0,10	0,20–0,70
SiO_2	< 0,15	0,10–0,15	< 0,10	0,20–0,70
$Na_2O + K_2O$	0,10–0,20	–	< 0,17	0,10–0,70
Істинна густина шпінелі, kg/m^3	3680			3570–3580
Насипна густина зерен, kg/m^3	3100–3270	3250–3300	3300	3400–3500
Відкрита пористість, %	1,3–5,5	1,5–2,0	2,0	0–1,0
Розмір кристалів, мкм	25–40	70	70	1200–4000
Основна мінеральна фаза	шпінель, периклаз	шпінель	шпінель, корунд	шпінель, периклаз

	MgO	$MgAl_2O_4$	Al_2O_3
Іонна дифузія		$3Mg^{2+} \rightarrow$ $\leftarrow 2Al^{3+}$	
Реакція на границях фаз	$4MgO$ $-3Mg^{2+} + 2Al^{3+}$	$4Al_2O_3$ $-4Al^{3+}$ $+3Mg^{2+}$	
Продукт	$MgAl_2O_4$	$3MgAl_2O_4$	

Схема твердофазового процесу шпінелеутворення за Вагнером

Синтез методом плавлення здійснюється в електродугових печах двома способами:

– на блок реалізується за схемою плавлення MgO в електродугових печах. Плавлення здійснюється поступово з повільним підніманням електродів з розтопу в печі у міру розплавлення матеріалу. Недоліком цього способу є те, що наплавлені шпінельні блоки неоднорідні за густину, макро- і мікроструктурою;

– на злив реалізується двома варіантами. За першим вихідні компоненти шихти периклазовий порошок і технічний глинозем ретельно перемішують у змішувачі й подають у приймальний бункер електродугової печі, з якого за допомогою дозатора шихта подається у зону плавлення печі. Для запобігання пиловиносу шихту попередньо гранулюють або брикетують. Після плавлення шихти розтоп зливають у V-подібну форму, на стінки якої попередньо втрамбовують шар шпінелі товщиною 200–250 мм. Після охолодження відливка легко витягується з форми для подальшого перероблення. За другим варіантом вихідні компоненти подають у піч окремо [2, 29]: спочатку периклазовий порошок як більш тугоплавкий компонент (температура плавлення MgO вища ніж 2800 °C), а потім технічний глинозем як менш тугоплавкий (температура плавлення Al₂O₃ приблизно 2000 °C). Внаслідок перегрівання розтопу Al₂O₃ різко зменшується його в'язкість (із 0,4 до 0,005 Па·с), що врешті-решт сприяє повному перебігу реакції шпінелеутворення. Отримання шпінелі за другим варіантом не потребує складного апаратурного оформлення, але вимагає ретельного дотримання і витримування технології плавлення, контроль за яким ведеться за струмом і витратою електроенергії на процес плавлення.

Після охолодження відливки шпінелі подрібнюють, розмелюють і класифікують для отримання порошків необхідного зернового складу.

Описані вище методи отримання алюмо-магнезіальної шпінелі є енергоємними процесами, що потребують тривалого випалювання за високих температур, складного дороговартісного обладнання і не дають можливості лімітувати вміст домішок у кінцевому продукті [1, 30].

Золь-гель процес. Суть золь-гель процесу полягає у переході гомогенних розчинів пре-

курсорів у золь, а потім у гель за рахунок процесів гідролізу та конденсації, з подальшим старінням гелю, який після сушіння та термічного оброблення за порівняно низьких температур перетворюється у порошок [31–34]. Золь-гель метод забезпечує отримання порошків із високою однорідністю і за хімічним, і гранулометричним складом, із регульованим розподілом частинок за розмірами [15, 35–37]. Найважливішими перевагами цього методу є те, що властивості золів та гелів дають можливість застосовувати їх для отримання продуктів у вигляді волокон, порошків, плівок, мікросфер і синтезувати принципово нові матеріали з різними властивостями за рахунок зміни низки параметрів на різних стадіях технологічного процесу [31–34, 36–38].

До недоліків методу належать: значна тривалість процесу, необхідність точного дотримання послідовності й умов проведення процесу, значне зсідання під час синерезису і термооброблення, шкідливий вплив на здоров'я людини органічних розчинників [33, 34].

Існує декілька типів золь-гель процесу, що поділяють залежно від виду вихідних матеріалів, середовища, механізму гелеутворення тощо [32, 33].

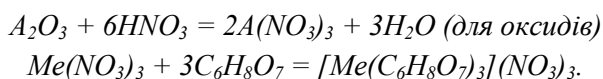
Цитратний золь-гель метод (метод Печіні). Суть цього методу полягає у синтезі нанодисперсних оксидних порошків із використанням комплексоутворення, а саме здатності α-гідроксо-карбонових кислот утворювати комплекси із більшістю катіонів металів і проміжним отриманням полімерного гелю. Цитратний метод поєднує золь-гель метод і метод саморозповсюджуючого високотемпературного синтезу (СВС). У цьому разі досягається висока ступінь змішування катіонів у розчині на молекулярному рівні, контролюваній переходом розчину у полімерний гель, видаленням полімерної матриці з утворенням оксидного прекурсору і збереженням високої гомогенності продукту.

Вихідними реагентами для синтезу складних оксидів слугують водні розчини нітратів металів, які змішують у стехіометричному співвідношенні. В отриманий розчин вводять органічну сполуку, яка у золь-гель процесі виконує роль:

- 1) органічного палива в реакції горіння;
- 2) комплексоутворювача (хелатний агент), в якому карбоксильні групи є лігандами.

Під час термічного оброблення за рахунок виділення великої кількості газоподібних продуктів, утворених в умовах низькотемпературної реакції горіння між нітратами металів і органічною сполукою, формуються дуже пористі продукти з високою площею поверхні.

Як комплексоутворювач використовують цитратну, винну, амінооцтову, етилендіамінетрацтову кислоти. Рівняння відповідних реакцій можна записати у вигляді:



Синтез методом Печіні можна здійснювати за двома напрямами. Насичений водний розчин цитратної кислоти можна вводити у розчин нітратів металів, а потім випарювати. Під час термооброблення суміш самозаймається з утворенням аморфних вуглецевмісних первинних частинок складових оксидів. Після охолодження суміш перетирають і випалюють з утворенням високодисперсного порошку. В іншому випадку після утворення комплексів металів у систему вводять багатоатомний спирт (переважно етиленгліколь). Розчин випарюють до утворення полімерного гелю, який надалі термообробляють. Під час розкладу полімеру утворюється порошок складного складу. Під час синтезу іони металів і карбонова кислота утворюють хелатні комплекси, які мають вільні гідроксильні групи, за рахунок яких відбувається поліестерифікація хелатів із багатоатомним спиртом (рис. 3). При цьому іони різних металів рівномірно розподіляються у полімерному гелі. Під час розкладу полімеру одночасно відбувається утворення первинних частинок простих оксидів та їхня реакція із подальшим утворенням однофазного високодисперсного складного оксидного продукту [38].

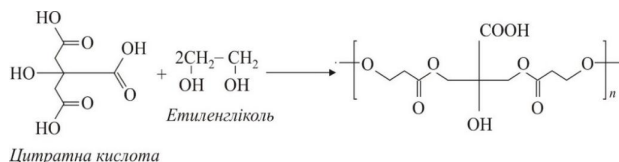


Рис. 3. Реакція поліестерифікації за участі етиленгліколю

У роботі [39, 40] для отримання нанокристалічних порошків $MgAl_2O_4$ за золь-гель цитратним методом як вихідні реагенти використано кристалогідрати солей магнію ($(Mg(NO_3)_2 \cdot 6H_2O)$, алюмінію ($Al(NO_3)_3 \cdot 9H_2O$), цитратна кислота (цк) та пропіленгліколь (пг). Вказані реагенти розчиняли у воді, виходячи з їхньої розчинності, і змішували між собою за кімнатної температури за мольного співвідношення $n(Mg^{2+} + Al^{3+}) : n(\text{цк}) : n(\text{пг}) = 1 : 1 : 0,5$. Отримані суміші висушували за температури 85–90 °C до отримання полімерного гелю. Термооброблення гелів сприяло формуванню порошків, початок кристалізації чистої фази яких спостерігався за 600–700 °C. Автори [41] зазначають, що оптимальною температурою для синтезу нанокристалічних порошків $MgAl_2O_4$ є 1000 °C за ізотермічної витримки 3 год. Розмір кристалітів отриманих порошків становить 40–60 нм [39]. Порошки є агломерованими, а самі агломерати м'якими.

Метод співосадження. Отримання високодисперсних порошків оксидних сполук методом співосадження із розчинів гідроксидів, оксалатів, карбонатів, сульфатів та інших солей здійснюється за трьома варіантами [6]:

– сумісне осадження із водних розчинів солей гідроксидів відповідних металів із подальшим термообробленням;

– отримання водних солей відповідних металів з подальшою дегідратацією і термічним розкладом за 800–1000 °C;

– отримання твердих розчинів ізоморфних солей із подальшим термічним розкладом за 800–1000 °C.

Для зменшення розміру частинок осаду та зменшення розподілу за розмірами доцільно застосовувати органічні реагенти (так звані осаджувачі), наприклад аміачні розчини [42–44]. Використання як осаджувача гідроксиду амонію [45, 46], гліцину [47] дало змогу отримати наночастинки шпінелі розміром від 10 до 50 нм із високою площею питомої поверхні. При цьому температури початку та завершення шпінелізації є порівняно низькими і становили ~600 °C та 1000 °C відповідно.

Автори [6] здійснили низькотемпературний синтез алюмомагнезіальної шпінелі термічним розкладом осаду, отриманого сумісним осадженням із водних розчинів солей $Mg(NO_3)_2 \cdot 6H_2O$ і

$\text{Al}(\text{NO}_3)_3 \cdot 9\text{H}_2\text{O}$. Температура синтезу становила 300 °C, а отриманий продукт характеризувався середнім розміром частинок 3,5–5 нм.

Співосадження з розчинів є простим, ефективним методом, який не потребує підвищених температур і тиску, дає змогу контролювати морфологію та розмір наночастинок у широких межах без використання органічних розчинників.

Гідротермальний синтез. Суть методу полягає в обробленні у гідротермальних умовах за підвищених температур і тиску (температура ~300 °C, тиск ~10 МПа) вихідних компонентів – прекурсорів порошків в інертному, окисному або відновному середовищах [48–50]. Гідротермальний синтез у системі на водній основі може здійснюватися і за нижчих температур реакції (160–220 °C). Варто зазначити, що підвищення концентрації реагентів і температури гідротермального синтезу сприяє спонтанній кристалізації та зменшенню розмірів частинок, а збільшення часу гідрохімічного оброблення твердої фази приводить до рівномірного укрупнення частинок порошку [51]. Гідротермальний синтез – це ефективний процес, який дає змогу контролювати морфологію та розмір наночастинок без використання токсичних органічних сполук.

Розглянуті у роботі методики синтезу порошків алюмомагнезіальної шпінелі з огляду на характеристики отриманих зразків наведено у табл. 4.

Таблиця 4

Якісне порівняння можливостей методів синтезу алюмомагнезіальної шпінелі

Метод синтезу	Розміри частинок	Простота апаратурного оформлення	Швидкість синтезу	Агломерація
Спікання	полі-дисперсні	–	–	+
Плавлення		–	–	+
Золь-гель синтез	нато	+	+	частково
Осадження	нато	+	+	–
Гідротермальний синтез	нато	–	+	частково

Проведений огляд можливих методів синтезу порошків алюмомагнезіальної шпінелі з огляду на морфологію показує, що найопти-

мальнішими є хімічні методи, завдяки можливості отримання монодисперсних наночастинок певного складу і розмірів. Перспективними є різні варіанти золь-гель технології і методів осадження.

Висновки

На підставі виконаного аналізу літературних даних можна стверджувати, що для синтезу порошків алюмомагнезіальної шпінелі одними з найперспективніших, сучасних і технологічних методів є золь-гель процес і метод осадження. Вказані методи забезпечують можливість отримання однофазних порошків алюмомагнезіальної шпінелі за порівняно низьких температур із високим ступенем чистоти, контролюваним розміром та формою частинок, їхньою нанорозмірністю.

References

- Ganesh, J. A. (2013). Review on Magnesium Aluminate (MgAl_2O_4) Spinel: Synthesis, Processing and Applications. *Int. Materials Revs.*, 115(16), 63–112.
- Kashcheev, Y. D., Zemlianoi, K. H. (2017). Proyzvodstvo shpynely. *Novye ohneupory*, 3, 127–133 [in Russian].
- Kashcheev, Y. D., Ctrelov, K. K., Mamykyn, P. S. (2007). *Khymycheskaia tekhnolohiya oneuporov. Ynternet Ynzhynyrynh* [in Russian].
- Biukhel, H., Hyrsh, D., Bur, A. (2009). Shpynelnye aliumomahnyevyu materyaly dlja stoikykh futerovok stalerazlyvochnykh kovshei. *Novye ohneupory*, 4, 117–123 [in Russian].
- Kashcheev, Y. D., Semiannykov, V. Y. (2000). Elektroplavlenia aliumomahnyevaia shpynel. Ohneupory y tekhnicheskai keramika, 9/10, 20–23 [in Russian].
- Ledovskaia, E. H., Habelkov, S. V., Lytvynenko, L. M., Lohvynkov, D. S., Myronova, A. H., Odeichuk, M. A., ... Tarasov, R. V. (2006). Nyzkotemperaturnyi syntez mahnyi-aliumynyevoi shpynely. Voprosy atomnoi nauky y tekhniki. Seryia : Vakuum, chystye materyaly, sverkhprovodnyky, 3(15), 160–162 [in Russian].
- Radyshevskaia, N. Y., Vereshchahyn, V. Y. (2011). Protsessy samorasprostraniia uishchehosia vysoko-temperaturnoho syntezi keramicheskikh pyhmentov so shpynelnoi fazoi. Vserossyiskoi rabochaia khymycheskaia konferentsiya “Butlerovskoe nasledye-2011”, 25 (8), 75–80 [in Russian].
- Senyna, M. O., Lemeshov, D. O., Pedchenko, M. S., Popova, N. A., Lukyn, E. S. (2018). Keramika na osnove aliumomahnezialnoi shpynely s dobavkoi oksyda bora. *Trudy Kolskoho nauchnoho tsentra RAN*, 1(2), 729–733 [in Russian].

Способи отримання порошків алюмомагнезіальної шпінелі. Огляд

9. Horskyi, V. V. (2000). Yadernoe toplyvo s ynerchnoi matrytsei. Atom. tekhn. rub., 10, 3–6 [in Russian].
10. Suárez, M., Fernández-Camacho, A., Torrecillas, R., Menéndez, J. L. (2012). Sintering to transparency of polycrystalline ceramic materials. Sintering of Ceramics –New Emerging Techniques, 527–552.
11. Bkhatalnahar, A. (2011). *Lehkye ballysticheskie materyaly*. M. : Tekhnosfera [in Russian].
12. Patel, P. J., Gilde, G. A., Dehmer, P. G., McCauley, J. W. (2000). Transparent armor. The AMPTIC Newsletter, 4(3), 1–6.
13. Lukyn, E. S., Popova, N. A., Hlazachev, V. S., Pavliukova, L. T., Kulykov, N. A. (2015). Tekhnolohiya, svoistva y prymeneny optychesky prozrachnoi oksydnoi keramyky: perspektyvy razvityia. *Konstruktsyy yz kompozitsyonnykh materyalov*, 3, 24–36 [in Russian].
14. Kachaev, A. A., Hrashchenkov, D. V., Lebedeva, Yu. E., Solntsev, S. St. (2016). Optychesky prozrachnaia keramyka (obzor). *Steklo y keramyka*, 4, 3–10 [in Russian].
15. Senyna, M. O., Lemeshov, D. O. (2016). Sposoby synteza poroshkov aliumomahnezyalnoi shpynely dlia polucheniya optychesky prozrachnoi keramyky (obzor). *Uspekhy v khimii y khimicheskoi tekhnolohyy*, KhKhKh(7), 101–103 [in Russian].
16. Senyna, M. O., Zhurba, E. V., Rusakova, L. Yu., Pedchenko, M. S., Lemeshov, D. O. (2017). Syntez poroshkov aliumomahnezyalnoi shpynely dlia polucheniya prozrachnykh keramicheskikh materyalov. *Uspekhy v khimii y khimicheskoi tekhnolohyy*, KhKhKh(3), 99–101 [in Russian].
17. Routschka, G. (1996). *Taschenbuch Feurfeste Werkstoffe*. Ausg. – Essen: Vulkan-Verl.
18. Zemlianoi, K. H., Belousova, V. Yu., Kamenskykh, V. A. (2002). Odnostadyinyi syntez aliumomahnezyalnoi shpynely yz promyshlennyykh ultradispersnykh poroshkov pry temperaturakh nyzhe temperatur plavleniya. Yssledovano v Rossyy, 979–987. Rezhym dostupa k zhurnal: <http://zhurnal.ape.relarn.ru/articles/2002/089.pdf> [in Russian].
19. Kashii, N., Maekawa, H., Hinatsu, Y. (1999). Dynamics of the Cation Mixing of MgAl₂O₄ and ZnAl₂O₄ Spinel. *J. Am. Ceram. Soc.*, 82(7), 1844–1848.
20. Zyman, Z. Z. (2008). *Osnovy strukturnoi krystalohrafii*. Kharkiv: KhNU imeni V. N. Karazina [in Ukrainian].
21. Sirenko, H. O., Tatarchuk, T. R., Myslin, M. V. (2014). Syntez ta krystalokhimichni doslidzhennia shpinelei MgAl₂-khCr_xO₄, otrymanykh metodom khimichnoho osadzhennia. *Fizyka i khimiia tverdoho tila*, 15(2), 348–353 [in Ukrainian].
22. Lazarenko, E. K. (1970). *Kurs myneralohyy*. Kyiv: Vyshcha shkola [in Ukrainian].
23. Chanh, K., Yanh, Y., Liu, R. (1989). Poluchenye y prymeneny keramicheskikh tonkodispersnykh poroshkov. *J. Chongqing Univ.*, 12 (2), 88–94 [in Russian].
24. Kato, A. (1997). Study on powder preparation in Japan. *Amer. Ceram. Soc. Bull.*, 66 (4), 647–648.
25. Budnykov, P. P., Hynstlyn, A. M. (1971). *Reaktsyy v smesiakh tverdkh veshchestv*. M.: Stroizdat [in Russian].
26. Dehtiareva, E. V. (1977). Mahnezyalno-slykatnye y shpynely ohneupory. M.: Metallurhyia [in Russian].
27. Deng, Z.-Y., Fukasawa, T., Ando, M., Zhang, G.-J., Ohji, T. (2004). High-Surface-Area Alumina Ceramics Fabricated by the Decomposition of Al(OH)₃. *J. Amer. Cer. Soc.*, 84(3), 485–491.
28. Kashcheev, Y. D., Kamenskykh, V. A., Zemlianoi, K. H. (2003). Syntez shpynely yz kausticheskoho mahnezyta y pyly proyzvodstva hlynozema. *Novye ohneupory*, 8, 17–21 [in Russian].
29. Diatlov, V. N., Zubov, A. S., Pysarov, V. A., Fysenko, B. L. (1997). Patent 2090538, Rossiyskaia Federatsiya [in Russian].
30. Panasiuk, H. P., Kozerozhets, Y. V., Danchevskaia, M. N., Yvakyn, Yu. D., Muraveva, H. P., Yzotov, A. D. (2019). Novyi metod synteza melkokrystallicheskoi aliumomahnezyalnoi shpynely. *Doklady akademii nauk*, 487(4), 387–390 [in Russian].
31. Maksymov, A. Y., Moshnykov, V. A., Tayrov, Yu. M., Shylova, O. A. (2007). Osnovy zol-hel tekhnolohyy nanokompozytov. Elmor [in Russian].
32. Semchenko, H. D. (1997). Zol-hel protsess v keramicheskoi tekhnolohyy. Kharkov: AO “Byznes Ynform” [in Russian].
33. Semchenko, H. D., Shuteeva, Y. Yu., Butenko, A. N., Borysenko, O. N., Starolat, E. E., Nykolaenko, V. N., Povshuk, V. V. (2011). Zol-hel kompozitsyy polyfunktionalnoho naznachenyia. Kharkov: Raduga [in Russian].
34. Skorodumova, O. B., Tarakhno, O. V., Oliynyk, D. Yu., Honcharenko, Ya. M., Shuba, I. V. (2017). Keramichni, kompozitsiini materialy y vohnestiiki pokryttia na osnovi hibrydnykh heliv. Kharkov: FOP Panov A. M. [in Ukrainian].
35. Faikov, P. P. (2007). *Syntez y spekaemost poroshkov v sisteme MgO-Al₂O₃, poluchennykh zol-hel metodom*. (Dys. kand. tekhn. nauk). RKhTU ym. D. Y. Mendeleeva, Moskva [in Russian].
36. Tatarchuk, T. R., Sirenko, H. O., Yaremii, I. P., Boiko, Ye. V. (2014). Zol-hel tekhnolohiia u formuvanni nanorozmirnykh shpinelnykh ferytitiv (ohliad). Visnyk Prykarpatskoho natsionalnoho universytetu imeni Vasylia Stefanyka. Seriia: Khimiia, XVIII, 8–15 [in Ukrainian].
37. Tretiakov, Yu. D. (2010). Funktsionalnye nanomateryaly. M.: Fizmatlyt [in Russian].

38. Ryzhonkov, D. Y., Levyna, V. V., Dzydzyhury, Є. L. (2008). Nanomateryaly. M.: BYNOM. [in Russian].
39. Borshchysyn, Y. D., Lutsiuk, Y. V., Vakhula, Ya. Y., Kochubei, V. V. (2009). Syntez aliumomahnezyalnoi vysokodispersnoi shpynely tsytratno-helevym metodom. *Ohneupor y tekhnicheskai keramyka*, 10, 32–34 [in Russian].
40. Lutsiuk, I. V., Borshchysyn, I. D. (2010). Aliumomahnezialna nanodispersna shpinel, lehovana yonamy khromu (III). *Visnyk NU "Lvivska politekhnika"*, "Khimiia, tekhnolohiia rechovyn ta yikh zastosuvannia", 667, 334–337 [in Ukrainian].
41. Lutsyuk, I., Vakhula, Ya. (2018). Theoretical Aspects of Modification Mechanism for Sol-Gel Ceramic Oxide Powders of Technical Application. *Chemistry & Chemical Technology*, 2018, 12(3), 386–390.
42. Ravi Kant Sharma, Ranjana Ghose. (2015). Synthesis of zinc oxide nanoparticles by homogeneous precipitation method and its application in antifungal activity against. *Ceramics International*, 41, 967–975.
43. Mojtaba Kabir, Mehd Ghahar, Mahd Shafee Afarani. (2014). Co-precipitation synthesis of nano $\text{Y}_2\text{O}_3:\text{Eu}^{3+}$ with different morphologies and its photoluminescence properties. *Ceramics International*, 40, 10877–1088.
44. Ravi Kant Sharma, Ranjana Ghose. (2014). Synthesis of nanocrystalline $\text{CuO}-\text{ZnO}$ mixed metal oxide powder by a homogeneous precipitation method. *Ceramics International*, 40, 10919–10926.
45. Domanski, D., Urretavizcaya, G., Castro, F. J., Gennari, F. C. (2004). Mechanochemical Synthesis of Magnesium Aluminate Spinel Powder at Room Temperature. *J. Am. Ceram. Soc.*, 87, 2020–2024.
46. Zhao Huizhong. (2005). Poluchenye nanoporoshka MgAl_2O_4 metodom vakuumnoi sushky zamorazhvanya. *Naihuo cailiao Refractonies*, 39(3), 168–171.
47. Doroshenko, M. M. (2017). Nyzkotemperurnyi syntez nanoporoshkiv aliumomahnezialnoi shpineli z vykorystanniam prekursoru na osnovi kompleksu mahniiu i aluminiiu z hlitsynom. *Keramika: nauka i zhyttia*, 4(37), 6–10 [in Ukrainian].
48. Poddenezhnyi, E. N., Boiko, A. A. (2003). Klassyfikatsiya sposobov poluchenyia ultradispersnykh oksydnykh poroshkov (obzor). *Vestnyk HHTU* ym. P. O. Sukhoho, 1, 21–28 [in Russian].
49. Segal, D. L. (1984). Sol-gel processing: routes to oxide ceramics using colloidal dispersions of hydrous oxydes and alkoxide intermediates. *J. Non-Cryst. Solids*, 63 (1–2), 183–191.
50. Yang, G., Park, S-J. (2019). Conventional and Microwave Hydrothermal Synthesis and Application of Functional Materials: A Review. *Materials* (Basel), 12(7), Retrieved from <https://www.ncbi.nlm.nih.gov/pmc/articles/PMC6479615/>
51. Somia, S. (1990) Hydrothermal preparation of fine powders. *Adv. Ceram.*, III, 207–243.

I. Lutsyuk, I. Iliuchok

Lviv Polytechnic National University,
Department of Chemical Technology of Silicate Materials,
Iryna.V.Lutsiuk@lpnu.ua

METHODS OF OBTAINING OF MAGNESIUM-ALUMINATE SPINEL POWDERS. REVIEW

The main methods of synthesis of magnesium-aluminate spinel powder their features and advantages were analyzed. The character of the physicochemical interaction of components in the $\text{MgO}-\text{Al}_2\text{O}_3$ system physical and crystallographic characteristics and structural parameters of the crystalline lattice of magnesium-aluminate spinel were researched. The synthesis conditions are presented and qualitative comparison of the possibilities of synthesis methods in terms of the properties of spinel powders are made. The influence of various factors on the fullness of spinel formation by diverse methods of spinel synthesis is shown.

Key words: magnesium-aluminate spinel, spinel synthesis, solid phase synthesis, sol-gel process, metodPechini, citrate sol-gel synthesis.